

〈論 文〉

마찰을 고려한 치차의 접촉 문제 해석

이 대 희* · 최 동 훈**
(1989년 9월 20일 접수)

Analysis of Contact Problem of Mating Gear Teeth Taking Account of Friction on the Involute Surface

Dae Hee Lee and Dong Hoon Choi

Key Words: Contact Problem(접촉문제), Friction(마찰), Gear(치차), Finite Element Method (유한 요소법), Linear Programming(선형 계획법)

Abstract

The gears which are used to transmit power and motion in most machines should be designed to satisfy the limit conditions in terms of the bending stress, the contact stress, the thickness of the lubrication film, and the increase of the maximum local temperature. For the pitch line velocities of middle range, the limit on the contact stress between gear teeth dominates among these factors, which requires the stringent analysis of the contact phenomena between the meshing teeth. In practice, the contact between the mating teeth has been approximated to the contact between two idealized frictionless cylinders, and contact stress distribution has been found by applying the Hertz's formula. However, since the actual tooth profile is generated by an involute curve and the tangential load apparently exists due to the relative motion and the friction between the teeth in contact, these actual condition need be considered for scrupulous analysis. In this paper, the frictional contact problem between two involute teeth is analyzed to obtain the distribution of tangential tractions. In the process, finite element method is used to calculate the necessary flexibility matrices for the pinion and the gear and the solution is efficiently found by using an optimization technique. The analysis of the frictional contact problem between involute gears by the proposed algorithm seems to provide an accurate method to obtain the distribution of the compound contact stress which governs pitting, one of the most important factors for gear failure.

기호설명

a	: 半徑	f	: 摩擦 係數
a^*	: 圓形 接觸面의 半徑	$\underline{F}^1, \underline{F}^2$: 影響 係數 行列
e	: $[1, 1, \dots, 1]^T$	F_{ki}	: 影響 係數
E	: 弹性 係數	I	: 單位 行列 (Identity matrix)
		L	: 예상 接觸點에서의 거리
		L^*	: 接觸 길이
		m	: 모듈
		n	: 예상 接觸點의 數

*정회원, 한국과학기술연구원 기계시스템연구실

**정회원, 한양대학교 공과대학 기계설계학과

p_k	: 任意의 k 點에서 垂直力
p	: 垂直力 벡터
r	: 接觸點까지의 半徑
s	: 接線力 벡터
s_k	: 任意의 k 點에서의 接線力
T	: 接線荷重
u_k	: 接線 方向으로의 接線 變位
Y_1, Y_2	: slack 變數 벡터
Y_{1k}, Y_{2k}	: 음이 아닌 變數
Z_i, Z_{2n+1}	: 任意 變數
Z_1, Z_2	: 任意 變數 벡터
β	: 接線荷重 方向으로의 刚體 變位
v	: 동점성 係數

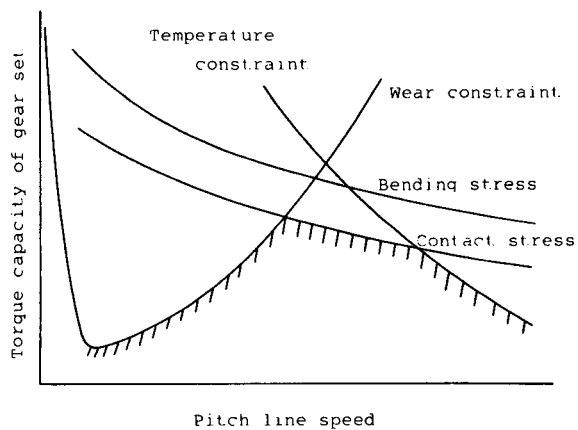


Fig. 1 The regions of gear failure

1. 서 론

1984년 Duddley⁽¹⁾에 의하면 齒車의 設計에 있어 고려 되어야 할 因子는 疲勞現象에 의하여 이의 破斷을 일으키는 굽힘 應力, 피팅(pitting)을 유발하는 接觸 應力, 마찰량을 결정하는 潤滑油내의 最大局所 温度 上昇이다. 그리고 많은 實驗과 經驗을 통하여 피치선 速度에 대한 限界荷重의 变화는 Fig. 1과 같이 각因子에 의하여 影響을 받는다는 것이 알려져 있다. Fig. 1에서 볼 수 있는 바와 같이 중간 범위의 速度로 돌아가는 齒車의 경우 接觸 應力이 設計 制限 條件이 되어 齒車의 接觸 應力を 자세하게 解석 할 필요가 있다.

현재의 齒車 設計는 대부분 AGMA^(2,3)의 設計 기준에 의존하고 있으며 이중에서도 接觸 應力에 대한 것은 다음과 같은 가정하에 Hertz⁽⁴⁾의 理論解를 사용하여 구하였다.

(1) 인벌루우트 曲面간의 接觸을 두개의 圓筒의 接觸으로 이상화한다.

(2) 摩擦을 무시하여 垂直荷重만을 고려한다.

첫번째 가정은 피치선 근처에서는 오차가 작지만 기초원 근처에서는 인벌루우트 曲線의 曲率 半徑의 변화가 크므로 부적합하다. 두번째 가정은 垂直荷重에 의하여 接觸領域이 형성되고 相對運動과 摩擦로 인하여 接線力이 중첩되기 때문에 실제적인 齒車에 대한 接觸 應力 解析에는 부적합하다.

本研究에서는 두 齒車사이의 接觸問題를 解析하기 위하여 摩擦을 고려한 垂直荷重과 接線荷重이 동시에 작용하는 경우에서의 接觸問題를 수식화하였다. 그리고 두개의 圓筒의 接觸으로 가정함

이 없이 실제적인 인벌루우트 曲面간의 接觸問題를 解析하기 위하여 有限要素法을 사용하였으며 非線形 聯立 方程式으로 수식화된 接觸問題를 효 과적으로 풀기 위하여 最適化 技法을 이용한 算法을 제시하였다. 이때 摩擦을 고려한 齒車의 接觸問題 解析에 필요한 垂直壓力 分布는 李⁽⁵⁾ 등에 의하여 이루어진 結果를 이용하였다. 제시한 算法에 의하여 摩擦을 고려한 두 齒車의 接觸問題를 解析하여 齒車損傷의 중요한 원인중의 하나인 피팅(pitting) 현상을 유발하는 실제적인 條件을 고려함으로써 자동화 및 정밀화 되어가는 機械의 중요한 부품으로서 齒車의 精密設計를 하기 위한 정 확한 자료를 제시하였다.

2. 摩擦이 있는 弹性 接觸問題 解析

Johnson⁽⁶⁾에 의하면 垂直荷重에 의하여 형성된 接觸領域에서의 摩擦로 인한 接線 方向의 traction이 接觸領域의 크기와 형태 그리고 接觸壓力 分布에 미치는 影響은 일반적으로 작으며, 특히 摩擦 係數가 1보다 상당히 작은 경우에 그 影響이 매우 작다. 따라서 接線荷重이 작용하는 摩擦接觸問題를 解析하는데 있어 接觸壓力과 接線 方向으로의 traction 상호간의 影響을 무시할 수 있고 垂直荷重과 接線荷重에 의한 應力과 變形量들은 서로 독립적인 것을 간주하여 接觸壓力과 接線 方向의 traction을 중첩함으로써 合力(resultant stress)을 구할 수 있다. 그러므로 本研究에서는 다음과 같은 순서로 摩擦接觸問題를 解석하였다.

- (1) 垂直 荷重만이 작용할 때 형성되는 接觸 領域에서의 接觸 壓力의 分布와 크기를 구한다.
 (2) (1)에서 구한 결과를 이용하여 接線 荷重이 작용 할 때 接線 方向으로의 traction을 구한다.

2.1 接線 荷重이 작용하는 摩擦 接觸 問題 의 數式化

接線 荷重에 의한 接線 方向으로의 traction이 작용하는 摩擦 接觸 問題의 解析을 위해 假定된 事項은 다음과 같다.

- (1) 變形은 線形 弹性論을 따른다.
- (2) 매끄러운 表面사이의 接觸이다.
- (3) 接線 荷重은 완전 미끄름(gross sliding)을 일으키는 臨界 荷重值보다 작다.

(4) 問題의 모델링

Fig. 2와 같이 垂直 荷重에 의해 形成된 接觸面에 接線 荷重이 중첩된 摩擦 接觸 問題를 解析하기 위하여 서로 接觸하고 있는 두 物體를 物體 1과 物體 2로 구별한다.

완전 미끄름(gross sliding)을 일으키는 臨界 荷重값보다 작은 接線 荷重이 작용할 경우, 接觸面에 微小 相對 미끄름이 발생하는 領域(slip region)과 발생하지 않는 領域(no-slip region)이 共存하며, 全 接觸面에서 接線力은 摩擦 係數와 垂直力의 곱보다 클 수 없다⁽⁷⁾.

Fig. 3과 같이 任意 形狀의 接觸 領域을 사각형要素로 分할하고 각 要素에서는 일정한 接線 變位와 接線力를 가진다고 근사화할 때 任意의 k 점에서 接線 荷重 方向으로의 接線 變位를 u_k 로, 接線力을 s_k 로, 垂直力を f_k 로 표기하기로 한다.

(4) 變形후의 接合 條件式

變形後의 接線 荷重 方向의 變位를 위한 接合 條件式은 式 (1)과 같이 나타낼 수 있다.

$$\begin{aligned} u_k &= \beta && \text{in the no-slip region} \\ u_k &< \beta && \text{in the slip region} \end{aligned} \quad (1)$$

여기서 β 는 接線 荷重 方向으로의 剛體 變位 β 와 弹性 變形量 u_k 의 차는 미끄름(micro-slip) 領域에서의 미끄름량을 나타낸다.

式 (1)은 아닌 變數 Y_{1k} 를 導入하여 아래와 같이 쓸 수 있다.

$$\begin{aligned} u_k + Y_{1k} &= \beta && \text{in the no-slip region} \\ Y_{1k} &= 0 && \text{in the no-slip region} \\ Y_{1k} &> 0 && \text{in the slip region} \end{aligned} \quad (2)$$

(4) 接線力에 대한 條件

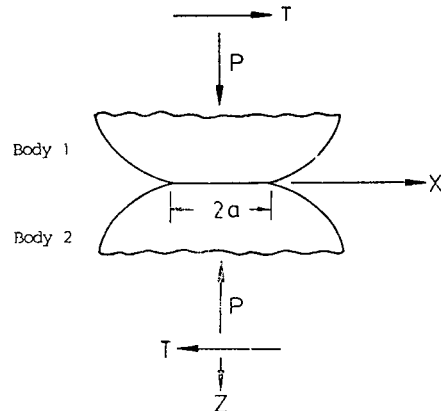


Fig. 2 The contact of elastic bodies pressed by a normal load and subjected to a tangential load

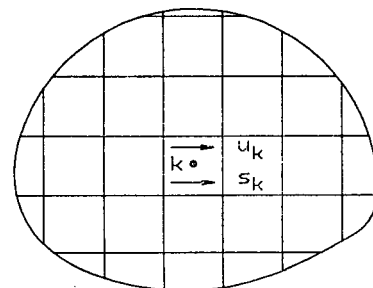


Fig. 3 Surface traction and displacement

接線力이 摩擦 係數와 垂直力의 곱보다 클 수 없다는 條件은 式 (3)과 같이 나타낼 수 있다.

$$s_k < f_k \quad \text{in the no-slip region}$$

$$s_k = f_k \quad \text{in the slip region} \quad (3)$$

여기서 f 는 摩擦 係數를 나타낸다.

식 (3)은 음이 아닌 變數 Y_{2k} 를 導入하여 아래와 같이 쓸 수 있다.

$$\begin{aligned} s_k + Y_{2k} &= f_k && \text{in the no-slip region} \\ Y_{2k} &> 0 && \text{in the no-slip region} \\ Y_{2k} &= 0 && \text{in the slip region} \end{aligned} \quad (4)$$

(4) 摩擦 接觸 問題의 條件

任意의 점 k 에서는 미끄름(slip)이 일어나거나 미끄름이 일어나지 않아야 (no-slip) 하므로 接觸 條件을 式 (5)와 같이 나타낼 수 있다.

$$\text{either } Y_{1k} = 0 \text{ or } Y_{2k} = 0 \quad (5)$$

(4) 平衡 方程式

接線 方向에 대한 平衡 方程式은 다음과 같이 나

타낼 수 있다.

$$\sum_{k=1}^n s_k = T \quad (6)$$

여기서 n 은 要素의 數, T 는 接線荷重을 나타낸다.

(b) 弹性變形에 대한一般的인 모델

接觸하는 두 物體가 線形彈性論을 따른다고 假定하였으므로 k 節點에서의 弹性變位 u_k 는 接觸領域에 작용하는 모든 s_j 에 의한 變位의 합이므로 式 (7)과 같이 나타낼 수 있다.

$$u_k = \sum_{j=1}^n F_{kj} s_j \quad (7)$$

여기서 F_{kj} 는 j 節點에 單位接線力を 주었을 때 k 節點에서의 接線荷重 方向으로의 變位를 나타낸다.

(c) 摩擦接觸問題의 數式化

式 (7)을 式 (2)에 代入한 후 모든 條件式을 고려하면 摩擦接觸問題는 다음 聯立方程式을 만족시키는 s, Y_1, Y_2, β 를 구하는 問題로 數式化된다.

$$\underline{F}\underline{s} + \underline{I}\underline{Y}_1 = \beta e \quad (8)$$

$$\underline{I}\underline{s} + \underline{I}\underline{Y}_2 = f p \quad (9)$$

$$e^T \underline{s} = T \quad (10)$$

$$Y_{1k} = 0 \text{ or } Y_{2k} = 0 \quad (11)$$

$$\text{for } k = 1, 2, \dots, n$$

$$s_k \geq 0, Y_{1k} \geq 0, \beta \geq 0 \quad (12)$$

$$\text{for } k = 1, 2, \dots, n$$

2.2 有限要素法을 利用한 影響係數의 計算

任意形狀의 弹性接觸에 대한 影響係數行列 F 를 구하기 위하여 有限要素法을 適用하였다. 解析하고자 하는 모델을 有限要素화하여 刚性行列 K 를 구하고 이것의 逆行列을 구하여 모든節點에 대한 影響係數行列을 구할 수 있다. 그러나 變形接合條件式에서 필요로 하는 影響係數行列 F 는 예상接觸領域에 속한 극히 일부의節點에 대한 것으로 이와 같은 경우에는 프론탈법(Frontal method)을 사용하는 것이 效率의이다. 本研究에서는 일반적인 프론탈법을 수정하여 필요한 부분의 影響係數를 구하였고 그過程은 다음과 같다.

- (1) 接觸 물체를 有限要素화하고 예상되는 接觸領域에 포함된節點을 기억시킨다.
- (2) 境界條件를 적용시킨 후, 有限要素화된 전체要素에 대해 組合과 消去過程을 反復한다. 이 때 기억된節點에 대한 係數들을 消去시키지 않는다.
- (3) 組合과 消去의 反復이 끝난 후 기억된節point에 서의 응축된 刚性行列을 구한다.

(4) 위와 같이 하여 얻어진 응축된 刚性行列의 逆行列을 구해 影響係數行列을 얻는다.

(5) 接線荷重이 작용하는 摩擦接觸問題를 解析하기 위하여 接線方向으로의 힘과 變位만이 필요하므로 응축된 影響係數行列에서 接線方向으로의 힘과 變位에 관계되는 列과 行을 취한다.

2.3 最適化問題로의 變換 및 解法

2.1節에서 數式化된 摩擦接觸問題는 變數에 制限條件이 있는 非線形聯立方程式의 鮮을 구하는 問題이나 이의 解를 구하기가 매우 어렵기 때문에 음의 값을 가질수 없는任意 變數 z_j 를 導入하여 다음과 같은 最適化問題로 변환한다.

$$\text{Minimize } \sum_{j=1}^{2n+1} z_j \quad (13-a)$$

subject to

$$\underline{F}\underline{s} + \underline{I}\underline{Y}_1 - \beta e + \underline{I}\underline{z}_1 = 0 \quad (13-b)$$

$$\underline{I}\underline{s} + \underline{I}\underline{Y}_2 + \underline{I}\underline{z}_2 = f p \quad (13-c)$$

$$e^T \underline{s} + z_{2n+1} = T \quad (13-d)$$

$$Y_{1k} = 0 \text{ or } Y_{2k} = 0$$

$$\text{for } k = 1, 2, \dots, n \quad (13-e)$$

$$s_k \geq 0, Y_{1k} \geq 0, Y_{2k} \geq 0, \beta \geq 0$$

$$\text{for } k = 1, 2, \dots, n \quad (13-f)$$

$$z_k \geq 0 \text{ for } k = 1, 2, \dots, 2n+1 \quad (13-g)$$

여기서 z_1, z_2 는 任意 變數 벡터를, z_{2n+1} 는 平衡方程式에서의 任意 變數를 나타낸다.

위의 最適化問題에서 式 (13-e)를 제외한 모든 條件式과 目的函數가 線形이며 式 (13-e)는 線形計劃法의 entrgy rule을 수정하여 처리할 수 있으므로 垂直荷重과 接線荷重이 동시에 작용하는 摩擦接觸問題는 수정된 線形計劃法을 적용하여 效率적으로 解析할 수 있다.

수정된 entry rule은 다음과 같다.

Basis로 들어가는 變數가 Y_{1s} 로 선택되었다고 하면 Basis에 Y_{1s} 에 해당하는 變數 Y_{2s} 가 있는가를 확인하고 만약 Y_{2s} 가 Basis에 없으면 Y_{1s} 는 자유롭게 Basis로 들어갈 수 있는 그러나 Y_{2s} 가 Basis에 있으면 Y_{2s} 는 Y_{1s} 가 Basis로 들어가는 행에 위치해야 한다. 만약 Y_{2s} 가 Basis로 들어가는 행에 위치하지 않는다면 새로운 變數가 선택되어야 한다. Basis로 들어가는 變數가 Y_{2s} 로 선택되었을 때도 똑같은 論理가 적용된다.

垂直荷重과 동시에 接線荷重이 작용하는 摩擦

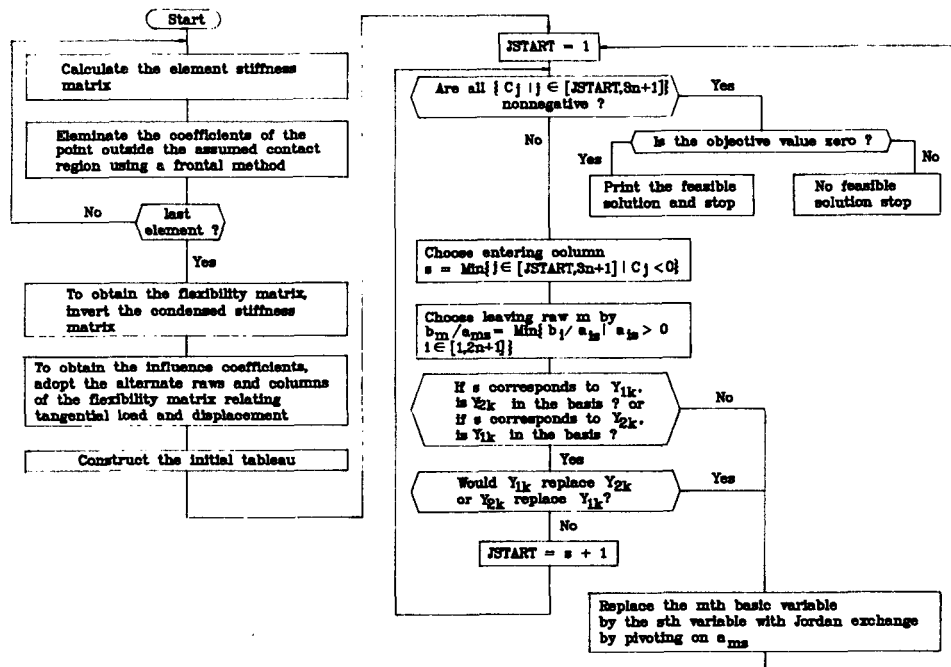


Fig. 4 Flow chart for the frictional contact problem under a tangential load

Table 1 Initial table

s	Y_1	Y_2	β	
F	I	0	$-e$	0
I	0	I	0	f_p
e	0	0	0	T
c	$-e$	$-e$	$-n$	ω

where

c : A cost coefficient vector of length n

$$c_j = \sum_{i=1}^n F_{ij} - 2$$

ω : Initial merit value

$$\omega = - \sum_{i=1}^n f_p p_i - T$$

接触問題를 解析하기 위한 프로그램構造는 Fig. 4에 圖示하였고 수정된 線形 計劃法을 위한 初期 tableau를 Table 1에 나타내었다.

2.4 解析 結果 및 考察

(1) 두 개의 球사이의 摩擦 接觸 問題

두 개의 球사이의 摩擦 接觸 問題는 Mindlin⁽⁷⁾에

의한 理論解가 存재하므로 本 算法의 正確性을 보이기 위하여 먼저 고려하였다.

(i) 弹性 係數가 同一한 두개의 球사이의 摩擦 接觸 問題

球의 半徑은 同一하게 1m의 半徑을 가진것으로 하였고 弹性 係數는 206GPa, 剛軟 比는 0.3으로 하였다.

垂直 荷重은 4.724MN, 接線 荷重은 0.3MN이 가해지고 摩擦 係數는 0.1로 하였으며 圓形 接觸 領域을 121개의 정사각形 要素로 分할하여 解析하였다.

Fig. 5는 Mindlin의 理論解와 本 解析과의 結果를 比較한 것이며 잘 일치함을 알수 있다. Fig. 6은 接觸 領域에서의 미끄름량을 圖示한 것이며 接觸 領域 내부에서는 미끄름이 일어나지 않고 接觸 領域의 외부쪽으로 나아감에 따라 미끄름량이 커짐을 알 수 있다.

이 때의 剛體 變位는 0.37×10^{-4} m이었으며 Mindlin의 結果(0.3716×10^{-4} m)와 0.4%의 誤差를 보였다.

(ii) 弹性 係數가 서로 다른 두개의 球사이의 摩擦 接觸 問題

彈性係數 6.89GPa인 球와 弹性계수 206GPa인 球사이의 摩擦接觸問題를 解析하였다. 球의 半徑은 모두 1m로 하였으며 프와송比는 0.3으로 하였다.

垂直荷重은 4.724MN, 荷重은 0.6MN을 가하였

으며 摩擦係數는 0.2로 하였다.

解析結果를 Fig. 7에 圖示하였으며 Mindlin의理論鮮와 잘 일치하고 있음을 알 수 있다. Fig. 8은 接觸領域에서의 미끄름량을 圖示한 것이며 역시 接觸領域 내부에서는 미끄름이 일어나지 않고

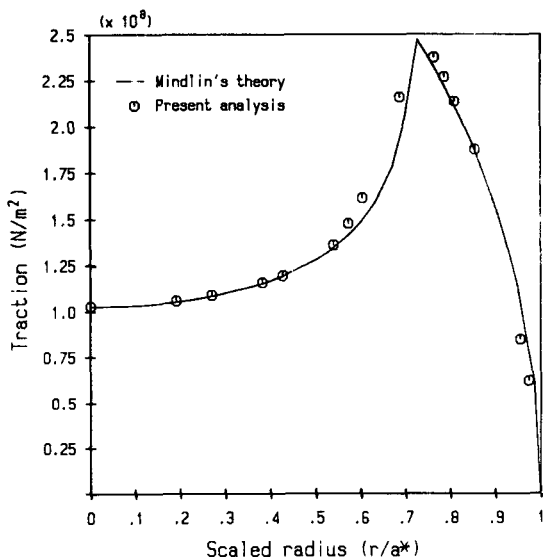


Fig. 5 Traction distribution on the circular contact between two bodies of same materials as compared with Mindlin's theory

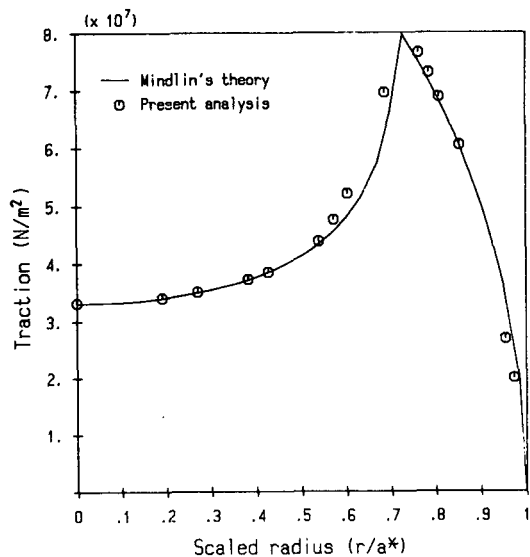


Fig. 7 Traction distribution on the circular contact between two bodies of different materials as compared with Mindlin's theory

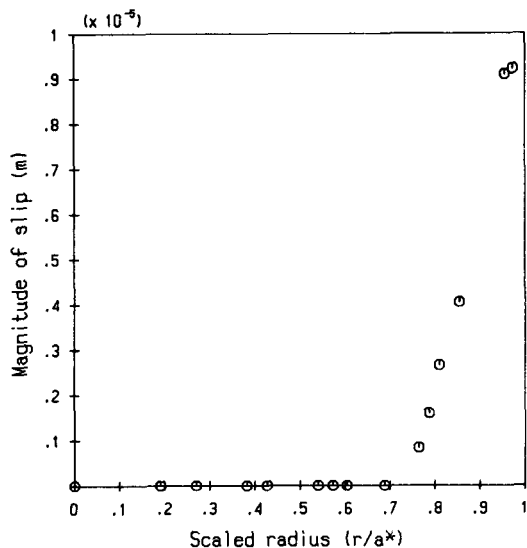


Fig. 6 Magnitude of slip on the circular contact between two bodies of the same materials

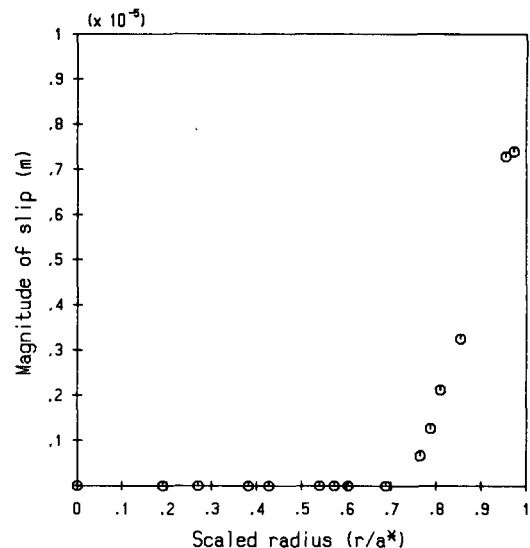


Fig. 8 Magnitude of slip on the circular contact between two bodies of different materials

接触蠕度의 외부쪽으로 나아감에 따라 미끄름량이 커짐을 알 수 있다. 이때 연한材質의 剛體變位($0.8896 \times 10^{-3} \text{m}$)는 강한材質의 剛體變位($0.2975 \times 10^{-4} \text{m}$)의 약 30배의 크기를 가지며 Mindlin의理論解와 0.3%의誤差를 보였다.

(2) 齒車의 摩擦 接觸 問題

(i) 摩擦係數의 結晶

대부분의齒車가 서로 맞물려 움직일 때, 油膜을 전단시키는데 필요한 힘으로써 나타나는 구름에 대한摩擦 저항은 가해지는荷重에 실질적을 비례한다.

어떤 특별한 환경하에서摩擦係數는 표면 거칠기와材料의 조합에 어느 정도影響을 받지만 우선적으로相對曲率半徑, 速度, 接觸條件 그리고潤滑油의壓力, 温度, 점성계수(viscosity) 특성에 의존하는油膜의 두께와 평균 점성계수에 의해 영향을 받는다. 그러나設計資料를 확립하기 위해서 대부분의 경우 Benedict, Kelly, Watson이 디스크 장치(disc machine)으로 실험한 결과를 검토하고 있다. 본 연구에서도 이 결과에 의한實驗式⁽⁸⁾으로摩擦係數를 결정하였으며 그식은 다음과 같다.

$$f = \frac{0.0182}{\nu^{0.15} V_e^{0.15} V_s^{0.35} R_r^{0.5}}$$

or

$$f = \frac{0.0182}{\nu^{0.15} (V_e/V_s)^{0.15} V_s^{0.5} R_r^{0.5}}$$

여기서

f : 摩擦係數

ν : 潤滑油의 동정성계수(cS)

V_e : 두齒車의 구름 속도의 힘(m/sec)

V_s : 미끄름 속도(m/sec)

R_r : 相對曲率半徑(m/sec)

本研究에서는 ν 를 100cS, V_e/V_s 를 1, V_s 를 1 m/sec로하여 맞물리는 두齒車 사이의摩擦係數를 0.1로 결정하였다.

(ii) 摩擦을 고려한齒車接觸問題에 대한 解析 結果

일반적으로齒車의接觸問題解析은先端에最大荷重이 걸리는條件를最大荷重條件으로假定하여齒車의接觸問題解析이 이루어지고 있으나 대부분의齒車들을 물림률이 1.2이상이기 때문에先端荷重條件이最大荷重條件이 아니고 두 쌍의齒의接觸에서 한 쌍의齒의接觸으로 넘어갈 때

가最大荷重條件이 되며 이때 한 쌍의齒가전荷重을 받게된다.本研究에서는 이러한最大荷重條件의 위치를 결정하여齒車의接觸問題解析을하였다.

기어와 피니언에 대한有限要素모델을 Fig. 9, 10에 圖示하였고 두齒車의單性係數는 206GPa, 프와송비는 0.3, 모듈은 5, 壓力角은 20°로 하였으며 기어의잇수는 60개, 피니언의잇수는 30개로하였다.

要素크기에 대한影響은参考交獻(5)에서 검토한結果를 이용하여 가장조밀하게 분할한모델을선택하였으며有限要素는1次補間函數를 갖는isoparametric要素를 사용하였다.

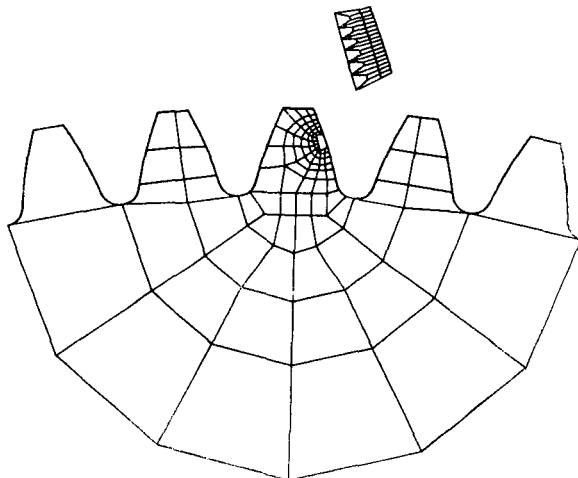


Fig. 9 Finite element mesh of gear

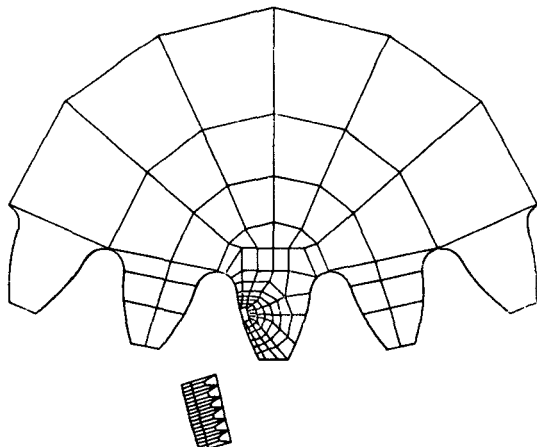


Fig. 10 Finite element mesh of pinion

垂直荷重이 4KN 작용하고 接線荷重을 250 N, 300N, 350N으로 변화시켰을 때 각荷重條件에서의 traction分布狀態를 Fig. 11, 13, 15에 각각圖示하였으며 Fig. 12, 14, 16에 각각荷重條件하에서의 미끄름량을圖示하였다.

미끄름이 일어나지 않는領域에서는 接線力이摩擦力보다 작으며 미끄름이 일어나는領域에서는

接線力이摩擦力과 같음을 알 수 있었다. 또한接線荷重이 증가함에 따라 미끄름領域이 증가함을 알 수 있었다.

3. 摩擦接觸應力を 고려한齒車設計

종래의齒車設計에서齒車破損의 원인중의 하

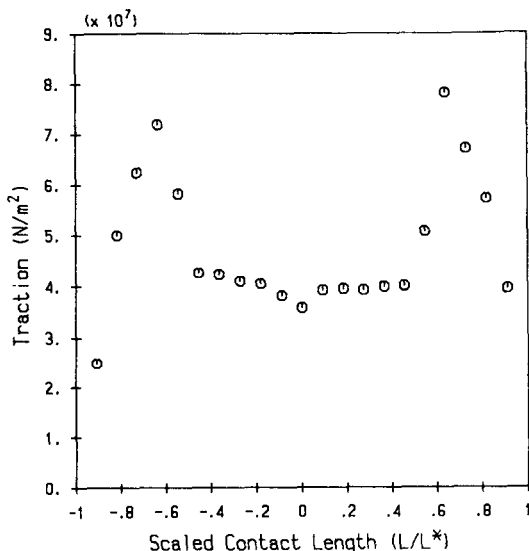


Fig. 11 Traction distribution between two gears
(normal load : 4KN, tangential load : 250 N)

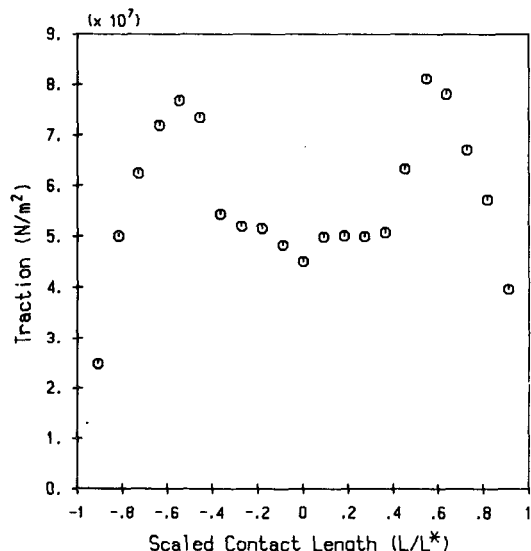


Fig. 13 Traction distribution between two gears
(normal load : 4KN, tangential load : 300 N)

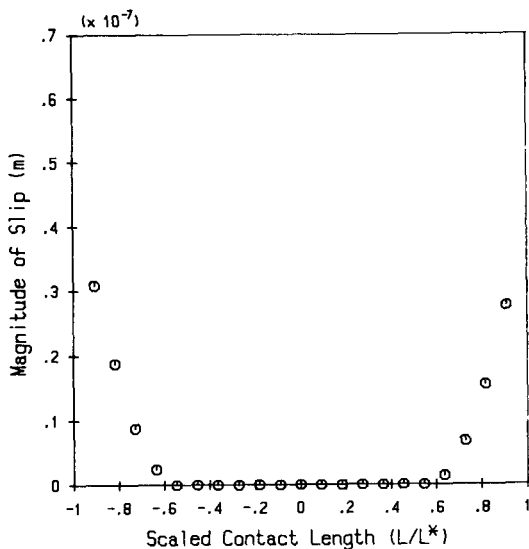


Fig. 12 Magnitude of slip (normal load : 4KN, tangential load : 250N)

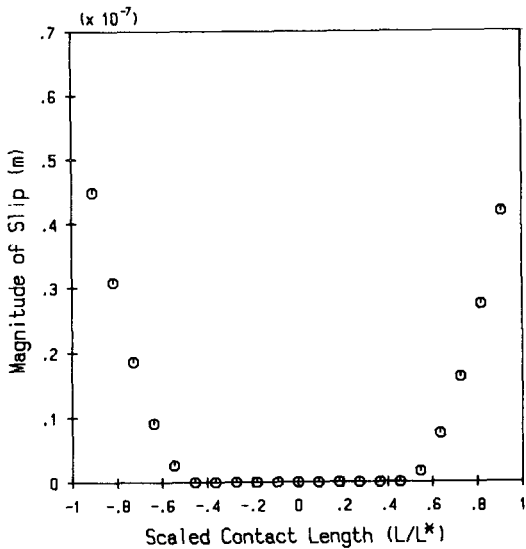


Fig. 14 Magnitude of slip (normal load : 4KN, tangential load : 300N)

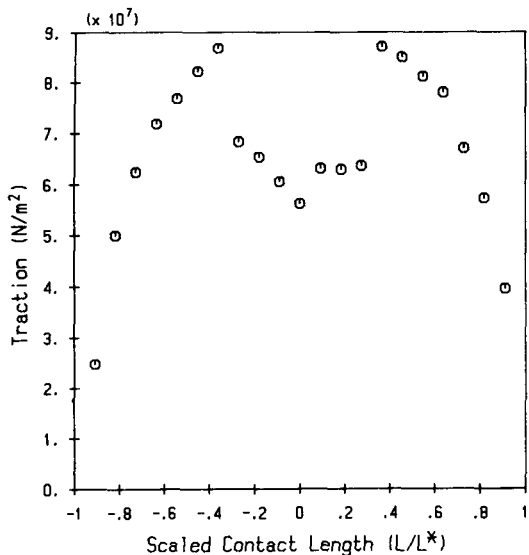


Fig. 15 Traction distribution between two gears (normal load : 4KN, tangential load : 350 N)

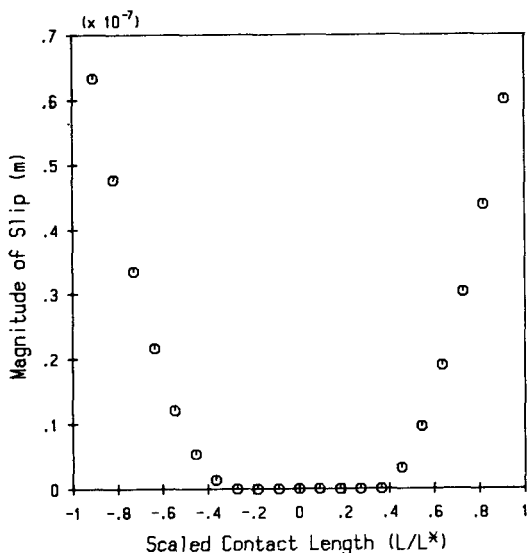


Fig. 16 Magnitude of slip (normal load : 4KN, tangential load : 350N)

나인 피팅(pitting)을 고려함에 있어 피팅(pitting)을 유발하는 접촉 현상의 해석은 인벌루우트曲面간의 접触을 접触點에서의 曲率半徑에 해당하는 두개의 圆筒사이의 接触으로 가정하고 또 接触領域에는 接触面에 수직한 方향으로의 接触压力만이 작용하는 것으로 이상화한 Hertz 식에 기초를 두

고 있다⁽⁴⁾. 그러나 齒車의 齒의 接触은 垂直荷重에 의하여 接触領域이 형성되고 相對運動과 摩擦로 인하여 接線力이 중첩되게 된다. 이로 인하여 齒 내부에서 피팅(pitting)을 일으키는 最大剪斷應力(maximum subsurface shear)이 발생하는 위치와 크기가 垂直荷重만이 작용할 때와는 다르게 된다. 그러므로 齒車設計에 있어 摩擦을 고려함은 중요하다. 그러나 垂直荷重과 동시에 接線荷重이 작용하는 齒車사이의 接触問題는 垂直荷重과 接線荷重의 크기에 따라 接触領域과 미끄럼領域이 변하는 移動境界值問題이기 때문에 일반적인 有限要素法으로 해석이 어려우므로 현재의 齒車設計는 摩擦에 대한 影響을 고려하고 있지 않다.

本研究에서는 有限要素法을 이용하여 인벌루우트曲面간의 接触으로 解析하였고 실제條件하에서 摩擦係數를 결정하여 摩擦을 고려한 齒車의 接触問題를 解析하여 接触領域에서의 接触壓力分布와 接線方向으로의 traction分布를 구하였다. 따라서 摩擦을 고려한 齒車의 設計는 다음과 같은 순서에 의하여 할 수 있다.

- (1) 垂直荷重만이 작용할 때 형성되는 接触領域에서의 接触壓力의 分布와 크기를 구한다⁽⁵⁾.
- (2) 接線荷重이 작용할 때 接線方向으로의 traction을 구한다.
- (3) (1), (2)에서 구해진 接触壓力과 接線方向으로의 traction을 荷重境界條件으로 하여 일반적인 有限要素法으로 齒車의 應力解析을 한다.
- (4) (3)에서 구한 피팅(pitting)을 일으키는 最大剪斷應力を 허용치와 비교하여 齒車設計에 대한 材質과 제원에 대한 接合性 여부를 판정한다.

4. 結論

彈性領域에서 摩擦을 고려한 垂直荷重과 接線荷重이 동시에 작용하는 경우의 일반적인 接触問題를 효과적을 解析할 수 있는 汎用算法을 제시하였다. 任意形狀의 弹性體사이의 接触問題를 解析하기 위하여 有限要素法을 적용하였으며 非線形聯立方程式으로 수식화된 接触問題를 最適化問題로 변환한 후 수정된 線形計劃法을 이용하여 効率적으로 鮮을 구하였다. 제시한 algorithm으로 摩擦을 고려한 두 齒車사이의 接触問題를 解析하여 接触

領域에서 接線 方向으로의 traction 分布를 구하였다. 구해진 接觸 壓力 分布와 接線方向으로의 traction 分布는 일반적인 有限 要素法으로 摩擦을 고려한 齒車의 接觸 應力を 解析함에 있어 荷重 境界 條件으로 이용하면 垂直 荷重과 接線 荷重이 동시에 작용할 때 接觸 領域에서의 齒 표면의 피팅 (pitting) 현상을 일으키는 最大 剪斷 應力を 쉽게 구함으로써 보다 정확한 齒車 設計에 귀중한 資料가 될 것으로 생각된다.

後記

이 研究는 1987년 韓國科學財團의 신진연구비 지원하에 이루어졌으며, 關係者께 感謝드립니다.

참고문헌

- (1) Duddley, D.W., 1984, Handbook of Practical

- Gear Design, McGraw-Hill Book Company.
- (2) AGMA, 1966, "Surface Durability(Pitting) of Spur, Helical, Herringbone and Beve.
- (3) AGMA, 1982, "Rating the Pitting Resistance and Bending Strength of Spur and Helical Involute Gear Teeth", AGMA 218.01.
- (4) Hertz, H., 1896, English traslation in Hertz H., "Miscellaneous Papers", Translated by D.E.Jones and G.A.Schott, Macmillan, Newyork, pp. 146~162, 163~183.
- (5) 이대희, 최동훈, 임장근, 윤갑영, 1988, "유한 요소법을 이용한 치차의 접촉 응력 해석", 한국윤활학회지, 제4권, 제2호, pp. 28~35.
- (6) Johnson, K.L., 1984, Contact Mechanics, Cambridge University Press.
- (7) Mindlin, R.D., 1949, "Compliance of Elastic Bodies in Contact", J.of Appl. Mech., Vol. 16, pp. 259~268.
- (8) Merrit, H.E., 1971, "Gear Engineering", John Wiley & Sons, pp. 347~349.